

РУДЕНКО В.И., СТЕПАНОВА Л.А., РУЧКО В.Н. (ДонНТУ)

## ИСПОЛЬЗОВАНИЕ МОДЕЛИ ОЦЕНКИ СТЕПЕНИ ВОЗМОЖНЫХ ПОВРЕЖДЕНИЙ ДЕТАЛЕЙ МАНИПУЛЯТОРА ПРОКАТНОГО СТАНА НА СТАДИИ ПРОЕКТИРОВАНИЯ

*В статье рассмотрено использование модели оценки степени возможных повреждений при совершенствовании конструкции манипулятора прокатного стана. Определены усилия, действующие на вертикальный ролик манипулятора. Рассмотрен порядок определения параметров пружины вертикального ролика.*

На современном этапе развития производства, совершенствование существующего металлургического оборудования, должно происходить с учетом снижения его материалоемкости, повышения долговечности и обеспечения требуемого уровня производительности.

Для решения этих задач, с точки зрения оптимизации и обеспечения надежного их функционирования, процесс проектирования нового оборудования необходимо осуществлять с учетом оценки реальных нагрузок, действующих на него.

Учет рабочих нагрузок и усилий действующих на детали, как внешних факторов  $V_{ВШ}(t)$ , а также прочностных и геометрических характеристик деталей, представленных их параметрами, как внутренних факторов  $V_{ВН}(t)$ , позволяет при вероятностном расчете их долговечности, использовать на стадии проектирования модель оценки степени возможных повреждений детали, представленную в работе [1], общий вид которой учитывает данные факторы:

$$R = f[(V_{ВШ}(t), V_{ВН}(t)], \quad (1)$$

где  $R$  — оценка степени возможных повреждений детали;  $V_{ВШ}(t)$  — внешние факторы, действующие на деталь;  $V_{ВН}(t)$  — внутренние факторы, влияющие на скорость накопления повреждений;  $t$  — время эксплуатации детали.

Однако для более точной оценки долговечности деталей необходимо при проектировании определить перечень реальных нагрузок и оценить характер их воздействия на процесс накопления повреждения. Немаловажное значение такой подход имеет при проектировании совершенствовании машин, подвергающихся интенсивным перегрузкам и расположенным в технологической линии прокатного производства. Надежность работы таких машин сказывается на производительности прокатного стана, а значит, эффективность производства.

Эффективности работы прокатной клети зависит от оптимизации процесса прокатки, сказывающейся на производительности прокатного стана. На сегодняшний день, данная задача практически решена: выбрана оптимальная калибровка прокатных валков, определена скорость прокатки, назначены режимы обжатия и т.д. Одним из оставшихся методов повышения производительности прокатного стана, является принудительная задача металла в валки.

Чтобы осуществить такую процедуру, необходимо совершенствовать конструкцию манипулятора, который задавал бы дополнительное ускорение раскату, за счет встроенных вертикальных приводных роликов. Обеспечивая, таким образом, возможность увеличения обжатия в пропуске, а значит, повышение производительности прокатного стана.

Как известно, максимальное ускорение  $a_{MAX}$ , которое может быть достигнуто при горизонтальных роликах рольганга 3 (рис. 1), не превосходит  $f'g$ , что при коэффициенте

трения раската о ролики рольганга  $f=0,3$ , составляет  $a_{MAX}=2,94 \text{ м/с}^2$ . Реально же данное значение еще меньше, и составляет для разных станов:  $a=0,65-1,55 \text{ м/с}^2$  [2].

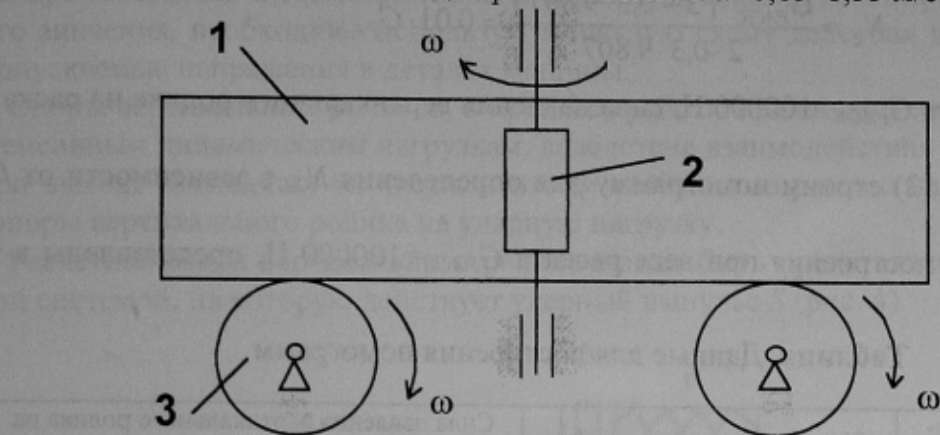


Рис. 1. Движение раската в манипуляторе

С целью увеличения ускорения раската 1, предлагается установить дополнительные приводные вертикальные ролики 2, встроенные в линейку манипулятора [3].

Определим необходимую силу прижатия вертикального ролика к раскату  $N_2$  при заданной величине ускорения раската. При расчете будем предполагать, что раскат находится на двух горизонтальных роликах и прижимается двумя вертикальными роликами с противоположных сторон, что всегда будет иметь место (рис. 2).

Движение раската описывается уравнением:

$$m_{PACK} \cdot a = 2 \cdot F_{TP_2} + 2 \cdot F_{TP_3},$$

или:

$$m_{PACK} \cdot a = 2 \cdot f \cdot N_2 + 2 \cdot f \cdot N_3, \quad (2)$$

где  $m_{PACK}$  — масса раската;  $a$  — ускорение раската;  $N_2$  — сила давления вертикального ролика на раскат;  $N_3$  — сила давления раската на горизонтальный ролик рольганга ( $G_{PACK}=2N_3$ , где  $G_{PACK}$  — вес раската);  $f$  — коэффициент трения раската о горизонтальные и вертикальные ролики.

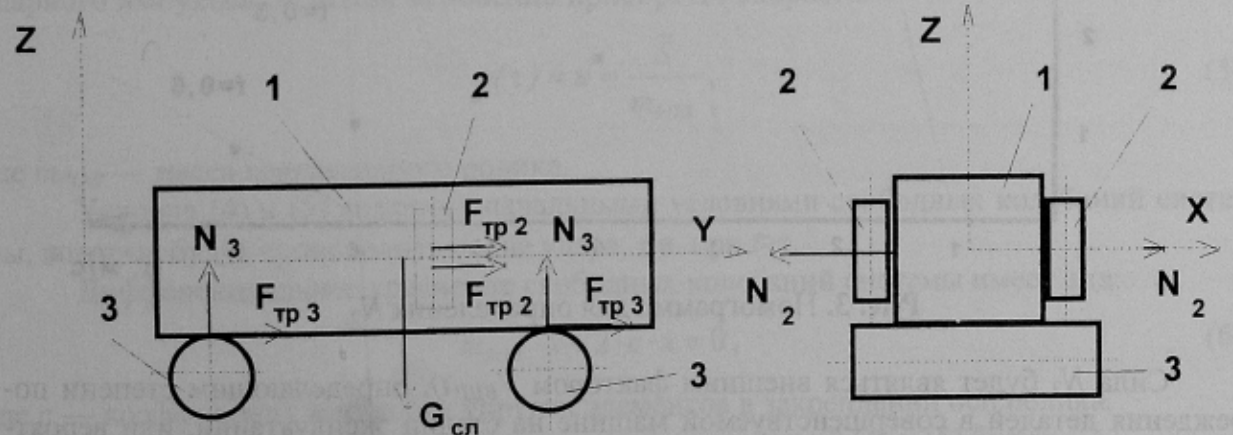


Рис. 2. Силы, действующие на раскат в манипуляторе

Найдем  $N_2$  из уравнения (2):

$$N_2 = \frac{1}{2 \cdot f} \cdot \left( \frac{G_{PACK}}{g} \cdot a - f \cdot G_{CL} \right) = \frac{G_{PACK}}{2 \cdot f \cdot g} \cdot (a - f \cdot g), \quad (3)$$

при  $a=3 \text{ м/с}^2$ ,  $f=0,3$  из уравнения (3), имеем:

$$N_2 = \frac{G_{PACK} \cdot (3 - 0,3 \cdot 9,807)}{2 \cdot 0,3 \cdot 9,807} = 0,01 \cdot G_{PACK},$$

т.е. при весе раската  $G_{PACK}=100000 \text{ Н}$ , сила давления вертикального ролика на раскат —  $N_2=1000 \text{ Н}$ .

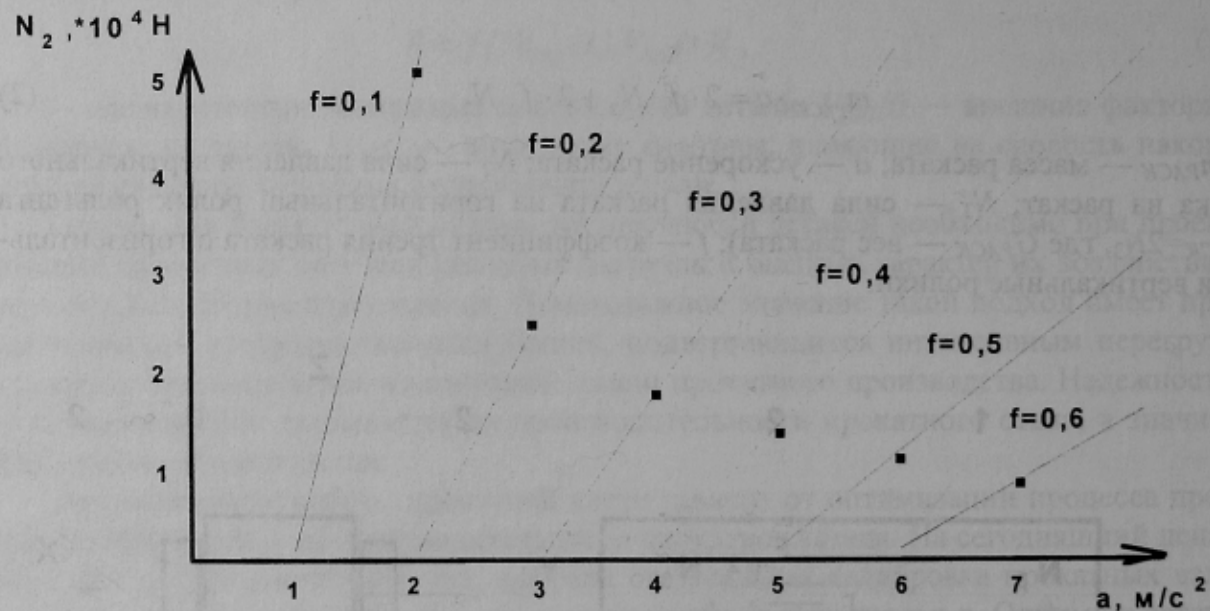
По формуле (3) строим номограмму для определения  $N_2$ , в зависимости от  $f$  и  $a$  (рис. 3).

Данные для построения при весе раската  $G_{PACK}=100000 \text{ Н}$ , представлены в таблице.

**Таблица.** Данные для построения номограмм

Коэффициент трения $f$	Ускорение раската $a, \text{ м/с}^2$	Сила давления вертикального ролика на раскат $N_2, *10^4 \text{ Н}$
0,1	2,0	5,20
0,2	3,0	2,65
0,3	4,0	1,80
0,4	5,0	1,38
0,5	6,0	1,12
0,6	7,0	0,95

Представленная на рис. 3 номограмма позволяет найти при известном коэффициенте трения  $f$  раската о приводной вертикальный ролик и заданном ускорении  $a$  — необходимую силу прижатия  $N_2$  вертикального ролика к раскату.



**Рис. 3.** Номограмма для определения  $N_2$

Сила  $N_2$  будет являться внешним фактором  $V_{B\dot{W}}(t)$ , определяющим степень повреждения деталей в совершенствуемой машине на стадии эксплуатации, или вероятностное значение долговечности деталей, на стадии проектирования. Оценить вероятностное значение долговечности проектируемой или совершенствующейся металлургической машины можно на основании имеющихся данных о предстоящей ее загрузке, т.е. имея информацию о планируемой производительности (производственной программе).

Влияние внутренних факторов  $V_{BH}(t)$  на степень повреждения деталей, определяется их прочностными и геометрическими характеристиками. Для определения их численного значения, необходимо используя расчетную схему действия нагрузок, рассчитать допускаемые напряжения в деталях машины.

Опоры вертикальных роликов, в процессе работы прокатного стана, подвергаются интенсивным динамическим нагрузкам, вследствие взаимодействия ролика со раскатом при выходе последнего из клети, поэтому необходимо рассчитывать упругий элемент опоры вертикального ролика на ударную нагрузку.

Расчетная схема вертикального ролика может быть представлена одномассовой упругой системой, на которую действует ударный импульс  $S$  (рис. 4).

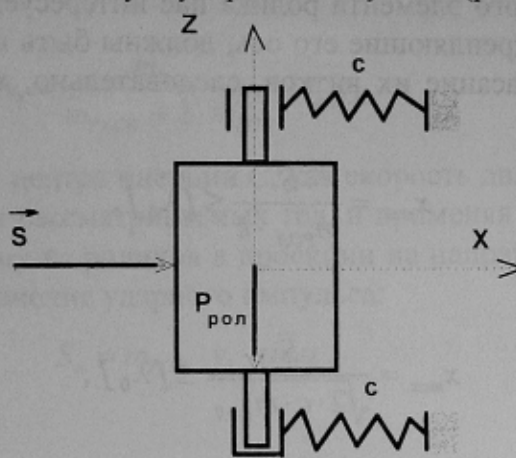


Рис. 4. Расчетная схема вертикального ролика

Рассмотрим свободные колебания системы, вызываемые ударным импульсом  $\bar{S}$ .

Пусть этот импульс прикладывается в течение бесконечно малого промежутка времени  $\tau$  (время удара), поэтому сразу после исчезновения импульса перемещение ролика будет еще отсутствовать, т.е.:

$$x(\tau) = 0. \quad (4)$$

На основании основного уравнения теории удара [4], вследствие приложения ударного импульса  $\bar{S}$ , ролик мгновенно приобретет скорость:

$$v(\tau) = u = \frac{\bar{S}}{m_{\text{рол}}}, \quad (5)$$

где  $m_{\text{рол}}$  — масса вертикального ролика.

Условия (4) и (5) являются начальными условиями свободных колебаний системы, которые будут происходить после удара, т.е. при  $t > \tau$ .

Дифференциальное уравнение свободных колебаний системы имеет вид:

$$m_{\text{рол}} \cdot \ddot{x} + 2 \cdot c \cdot x = 0, \quad (6)$$

где  $c$  — коэффициент жесткости упругих элементов в закреплении оси ролика.

Решением уравнения (6) с учетом начальных условий (4) и (5) будет:

$$x = A \cdot \sin(k \cdot t + \alpha),$$

где  $A$  — амплитуда колебаний,  $A = \frac{v(\tau)}{k} = \frac{\bar{S}}{m_{\text{РОЛ}} \cdot k}$ ;  $k$  — частота собственных колебаний,  $k = \sqrt{\frac{2 \cdot c}{m_{\text{РОЛ}}}}$ ;  $\alpha$  — начальная фаза.

Таким образом, колебания системы будут происходить по закону:

$$x = \frac{\bar{S}}{m_{\text{РОЛ}} \cdot k} \cdot \sin(k \cdot t). \quad (7)$$

При расчете упругого элемента ролика нас интересует максимальное смещение ролика, т.к. пружины, закрепляющие его ось, должны быть подобраны таким образом, чтобы не происходило касание их витков, следовательно, жесткость пружин должна определяться из условия:

$$x_{\max} = \frac{\bar{S}}{m_{\text{РОЛ}} \cdot k} \leq [\lambda_0],$$

или другими словами:

$$x_{\max} = \frac{\bar{S}}{\sqrt{2 \cdot c \cdot m_{\text{РОЛ}}}} \leq [\lambda_0], \quad (8)$$

где  $[\lambda_0]$  — предельное сжатие пружины.

Таким образом, из условия (8) находим необходимый коэффициент жесткости  $c$  пружины при заданном  $\lambda_0$ , т.к.  $\lambda_0$  определяется из конструктивных соображений [4]:

$$c \geq \frac{S^2}{2 \cdot m_{\text{РОЛ}} \cdot [\lambda_0]^2}. \quad (9)$$

Для расчета жесткости пружин опор вертикальных роликов по формуле (9) необходимо знать величину ударных импульсов, действующих на ролики.

Рассмотрим взаимодействие раската с вертикальными роликами при выходе раската из клети (рис. 5).

За расчетный принимается случай, когда раскат взаимодействует с вертикальными роликами при не полном выходе раската из клети, т.к. при этом не происходит затрат кинетической энергии раската на поворот его во время удара.

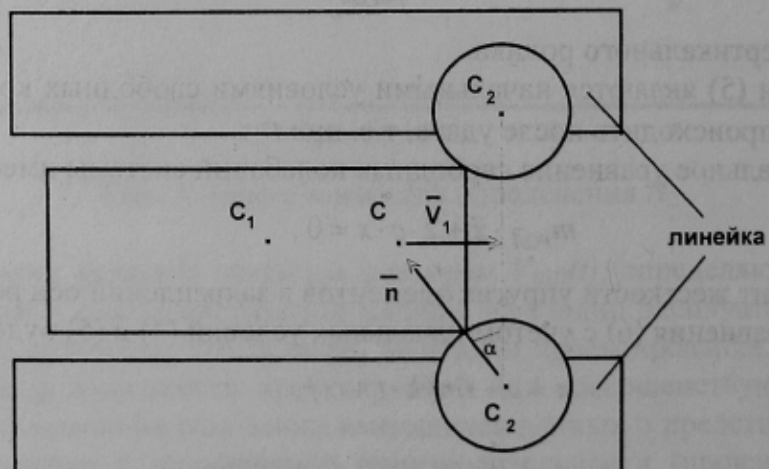


Рис. 5. Схема захвата раската роликами

Рассматривая раскат и ролики как единую механическую систему, можно утверждать, что центр инерции С системы сохраняет величину и направление скорости после удара, т.к. все удары происходят внутри системы, т.е. возникают между телами, входящими в систему, а поэтому справедлив закон сохранения движения центра масс системы.

Скорость центра инерции С определяется из соотношения:

$$m_{PACK} \cdot v_{PACK} = m_{PACK} \cdot v_1 + 2 \cdot m_{POL} \cdot v_1, \quad (10)$$

где  $v_{PACK}$  — скорость раската до удара;  $v_1$  — скорость центра инерции системы после удара.

Из (10) следует:

$$v_1 = \frac{m_{PACK}}{m_{PACK} + 2 \cdot m_{POL}} \cdot v_{PACK}. \quad (11)$$

Рассматривая скорость центра инерции С, как скорость движения преграды [4], о которую ударяется каждое из рассматриваемых тел, и применяя теорему об изменении количества движения к одному из роликов в проекции на направление нормали  $\bar{n}$  при неупругом ударе, получим значение ударного импульса:

$$S_n = m_{POL} \cdot v_1 \cdot \sin \alpha,$$

или с учетом (11):

$$S_n = m_{POL} \cdot \frac{m_{PACK}}{m_{PACK} + 2 \cdot m_{POL}} \cdot v_{PACK} \cdot \sin \alpha. \quad (12)$$

Следует отметить, что определяя  $S_n$  при неупругом ударе, мы тем самым в неявном виде предполагаем, что, коэффициент восстановления  $\kappa=0$ . Это предположение позволяет получить наибольшее значение ударного импульса. Так при отношении  $m_{PACK}/m_{POL} \geq 5$ , кинетическая энергия в случае  $\kappa=0$  больше, чем при  $\kappa \neq 0$ , а это означает, что величина ударного импульса, определяемая по формуле (12) — наибольшая.

Определяем максимальное напряжение пружины при принятых по конструктивным соображениям параметрам пружины:

$$\tau_{max} = k \cdot \frac{N_2 \cdot R}{\pi \cdot r^3} \leq [\tau], \quad (13)$$

где  $R$  — радиус витков пружины;  $r$  — радиус проволоки;  $k$  — коэффициент, учитывающий как влияние перерезывания, так и ряд других факторов, и величина которого зависит от соотношения  $R/r$ , при  $R/r=3-k=1,58$ .

Полученную величину максимального напряжения сравниваем затем с допускаемым напряжением, которое с учетом изменяющейся нагрузки для рессорной стали равно  $[\tau]=2/3 \cdot 800 \text{ Н/мм}^2=540 \text{ Н/мм}^2$ .

Далее определяем осадку пружины  $\lambda$  и сравниваем ее с предельно допустимой осадкой  $[\lambda_0]$ :

$$\lambda = \frac{64 \cdot n \cdot N_2 \cdot R^3}{G \cdot d^4} \leq [\lambda_0], \quad (14)$$

где  $n$  — число витков пружины;  $R$  — радиус витков пружины;  $d$  — диаметр проволоки пружины;  $G$  — модуль упругости при кручении.

После этого определяем для выбранной пружины осадку при воздействии ударного импульса по формуле:

$$\lambda_1 = \frac{\bar{S}}{\sqrt{2 \cdot c \cdot m_{\text{РОЛ}}}} \leq [\lambda_0], \quad (15)$$

где  $c = \frac{N_2}{\lambda}$ .

Если выбранные параметры пружины удовлетворяют условиям (13)–(15), то подбор пружины на этом заканчивается.

Теперь, имея значения внешних факторов  $V_{\text{ВШ}}(t)$ , представленных силой  $N_2$ , и внутренних  $V_{\text{ВН}}(t)$ , представленных параметрами пружины:  $R$ ,  $r$ ,  $n$ ,  $d$ ,  $\lambda_0$  и  $\tau_{\max}$ , можно воспользоваться разработанной моделью оценки степени возможных повреждений детали [1], для определения ее вероятностного значения для деталей рассматриваемой машины, главным фактором которой будет являться ее производительность:

$$R(t) = \sum_{S_{\text{PACK}}=1}^k r_{S_{\text{PACK}}} \cdot \left( \frac{Q_{S_{\text{PACK}}}}{1000} \right), \quad (16)$$

где  $S_{\text{PACK}}$  — тип раската (по весу),  $S_{\text{PACK}}=1\dots k$ ;  $k$  — количество типов раската;  $Q_{S_{\text{PACK}}}$  — суммарная масса раскатов типа  $S_{\text{PACK}}$ , пройденная через манипулятор за интервал времени  $t$ ;  $r_{S_{\text{PACK}}}$  — удельное повреждение детали при воздействии на нее нагрузок от воздействия на нее 1000 тонн раскатов типа  $S_{\text{PACK}}$ .

Таким образом, представленную модель достаточно легко адаптировать под любую металлургическую машину, что поможет обоснованно подойти к вероятностному определению степени повреждения ее деталей не только во время эксплуатации, но и на стадии их проектирования.

### Список литературы

- Ченцов Н.А., Ручко В.Н. Оценка использованной части ресурса деталей металлургического оборудования по усталостной прочности // «Защита металлургических машин от поломок». — Мариуполь, 1998. — С. 47–50.
- Иванченко Ф.К., Полухин П.И., Тылкин М.А., Полухин В.П. Динамика и прочность прокатного оборудования. — М.: Металлургия, 1970. — 487 с.
- А.с. СССР № 452382 «Манипулятор-кантователь обжимного стана», 1974.
- Бутенин Н.В., Лунц Я.Л., Меркин Д.Ф. Курс теоретической механики. Т.2. — М.: Наука, 1971. — 462 с.

© Руденко В.И., Степанова Л.А., Ручко В.Н., 2002

МАНЯК Н.А. (ДонНТУ)

## ИССЛЕДОВАНИЕ ВЛИЯНИЯ БОРА НА СТРУКТУРУ И СВОЙСТВА КИПЯЩЕЙ СТАЛИ

Установлено, что модифицирование кипящей стали бором обеспечивает снижение химической неоднородности слитка, увеличение толщины плотной корочки и придает стали иммунитет против старения.

Специфической особенностью кристаллизации кипящей стали является интенсивное газовыделение и образование пузырей в слитке. Кипение стали обычно начина-